

## 1,3,6-Triphenyl-6-phenylazo-1,4,5,6-tetrahydropyridazin

Neue Synthesen und Strukturuntersuchungen\*

Von

J. Schantl

Aus dem Institut für Organische und Pharmazeutische Chemie  
der Universität Innsbruck, Innsbruck, Österreich

(Eingegangen am 12. November 1973)

### *1.3.6-Triphenyl-6-phenylazo-1.4.5.6-tetrahydropyridazine. New Syntheses and Structural Investigations*

Base induced 1.4-elimination of pyridine · HI from 1-(2-phenyl-2-phenylhydrazono-ethyl)-pyridinium iodide (**6**) yields 1.3.6-triphenyl-6-phenylazo-1.4.5.6-tetrahydropyridazine (**8**) the (4 + 2)-cyclodimer of the intermediate 1-phenyl-1-phenylazo-ethylene (**7**). **8** can also be obtained by intramolecular oxidative cyclisation (with  $\text{KMnO}_4$ ) of 1.4-diphenylbutane-1.4-dione bisphenylhydrazone (**12**). Spectroscopic data (ms,  $^1\text{H}$ -nmr, uv and ir/Raman) confirm the structure of **8**.

### Einleitung

Aus Phenylhydrazonen aliphatic. Methylketone **1** ( $\text{R} = \text{Alkyl}$ ) sind durch Umsetzung mit  $\text{J}_2$  in Pyridin die krist. 1-(2-Phenylhydrazono-alkyl)-pyridiniumjodide **2** zugänglich<sup>2-3</sup>. Diese Reaktion verläuft einheitlich und mit guter Ausbeute, wenn der Alkylrest R in **1** keine Methylengruppe in  $\alpha$ -Stellung zur Phenylhydrazonfunktion enthält.

Die Einwirkung von wäßr. Alkali auf **2** bewirkt eine 1,4-Eliminierung von Pyridin · HJ zu 2-Phenylazo-1-alkenen **3**<sup>3</sup>. Die Verbindungen **3** sind in aprotischen Lösungsmitteln begrenzt haltbar, in lösungsmittelfreiem Zustand reagieren sie innerhalb weniger Stunden im Zuge einer (4 + 2)-Cycloaddition (*Diels—Alder*-Reaktion) zu 3,6-Dialkyl-1-phenyl-6-phenylazo-1,4,5,6-tetrahydropyridazinen **4**<sup>4</sup>. (Vgl. Reaktionsschema 1.)

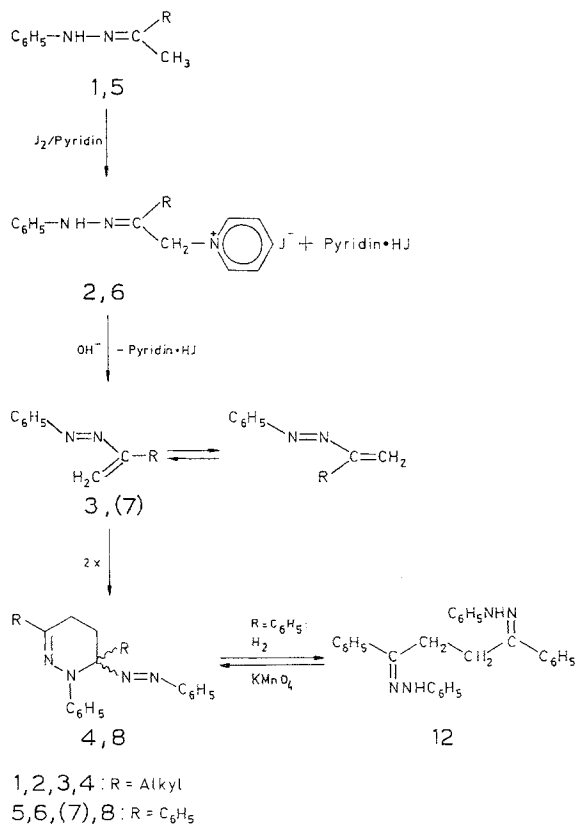
---

\* Oxidationsprodukte von Arylhydrazon-Verbindungen, 10. Mitt. (9. Mitt.<sup>1</sup>).

Synthesen von 1,3,6-Triphenyl-6-phenylazo-1,4,5,6-tetrahydropyridazin (8)

Die gute Durchführbarkeit der Reaktionsfolge 1 → 2 → 3 → 4 gab Veranlassung, sie auf Phenylhydrazone aromatischer Methylketone, im einfachsten Fall auf Acetophenonphenylhydrazone (5)

Reaktionsschema 1



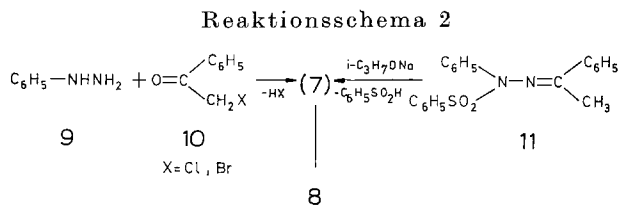
(R =  $C_6H_5$ ) anzuwenden: Mit  $J_2$  in Pyridin reagiert 5 unter Ersatz eines Methyl-H-Atoms gegen N-Pyridinium zu 1-(2-Phenyl-2-phenylhydrazono-äthyl)-pyridiniumjodid 6. Durch Einwirkung von Basen (wäßr. Alkali oder Triäthylamin) auf 6 wird eine gelbe, kristalline Verbindung erhalten: Dieses Reaktionsprodukt ist jedoch nicht — wie in Analogie zur aliphat. Reihe (s. oben) zu erwarten wäre — 1-Phenyl-1-phenylazo-äthylen ( $\alpha$ -Phenylazo-styrol, 7), sondern dessen Dimerisierungsprodukt 1,3,6-Triphenyl-6-phenylazo-1,4,5,6-tetrahydropyridazin (8), welches durch (4 + 2)-Cyclodimerisierung aus dem

monomeren, nicht isolierbaren Zwischenprodukt **7** entsteht (Reaktionsschema 1).

1,3,6-Triphenyl-6-phenylazo-1,4,5,6-tetrahydropyridazin (**8**) ist auch das Reaktionsprodukt zweier literaturbeschriebener Reaktionsfolgen:

Schon seit langem ist bekannt<sup>5-11</sup>, daß bei der Umsetzung von Phenylhydrazin (**9**) mit Phenacylhalogeniden **10** ( $X = \text{Br}$  oder  $\text{Cl}$ ) eine gelbe, kristalline Verbindung entsteht; für dieses mehrfach untersuchte Reaktionsprodukt sind verschiedene Strukturformeln diskutiert worden, zuletzt<sup>11</sup> konnte aber die Struktur **8** wahrscheinlich gemacht werden.

Eine weitere Bildungsweise von **8** ist die Einwirkung von Natriumisopropylat auf Acetophenon-N-phenyl-N-benzolsulfonylhydrazon (**11**) unter Eliminierung von Benzolsulfinsäure<sup>12</sup>. (Vgl. Reaktionsschema 2.)



Diese Darstellungsmethoden<sup>5-12</sup> von 1,3,6-Triphenyl-6-phenylazo-1,4,5,6-tetrahydropyridazin (**8**) zielen ebenso wie die eingangs beschriebene Synthese von **8** aus 1-(2-Phenyl-2-phenylhydrazono-äthyl)pyridiniumjodid (**6**) primär auf die Darstellung von 1-Phenyl-1-phenylazo-äthylen (**7**). Dieses ist offenbar ein sehr reaktives Zwischenprodukt, dessen Isolierung nicht gelingt (über ein Abfangprodukt siehe<sup>13</sup>), da es sich sofort zu dem ausschließlich isolierten Reaktionsprodukt **8** cyclodimerisiert.

In der aliphat. Reihe  $\alpha$ -monosubst. Phenylazo-alkene **3** ( $R = \text{Alkyl}$ ) wird das Konformerengleichgewicht (*s-cis* oder *s-trans* bezüglich der zentralen N—C-Bindung des Heterodiensystems) bestimmt durch die räumliche Erfüllung des  $\alpha$ -Alkylsubstituenten. So bedingt z. B. der raumfüllende Rest  $R = t\text{-Butyl}$  eine praktisch ausschließlich bevorzugte, spektroskopisch nachweisbare *s-cis*-Konformation<sup>3</sup>. In **7** mit dem  $\alpha$ -Substituenten  $R = \text{C}_6\text{H}_5$  ist auf Grund sterischer Erwägungen ebenfalls eine *s-cis*-Konformation anzunehmen; darüber hinaus bedingen offenbar auch elektronische Faktoren des  $\alpha$ -Phenylsubstituenten in **7** dessen erhöhte Reaktionsbereitschaft zur (4 + 2)-Cycloaddition.

Außer durch Cyclodimerisierung von **7** kann **8** ausgehend von 1,4-Diphenylbutan-1,4-dion-bisphenylhydrazon (**12**) synthetisiert werden: Durch Einwirkung von  $\text{KMnO}_4$  auf **12** wird ein intramolekularer oxidativer Ringschluß zu **8** erzielt [in Analogie zur intermolekularen

KMnO<sub>4</sub>-Oxidation<sup>14</sup> zweier Moleküle Aceton-phenylhydrazon zu Aceton-N-phenyl-N-(2-phenylazo-2-propyl)-hydrazon (**13**). Diese mit bescheidener Ausbeute durchführbare Oxidation von **12** zu **8** ergänzt den chemischen Strukturbeweis der Reduktion<sup>11</sup> von **8** zu **12**, wonach in beiden Verbindungen die Struktureinheit C—CH<sub>2</sub>—CH<sub>2</sub>—C vorliegt (Reaktionsschema 1).

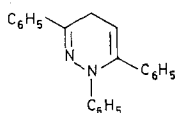
Ein umfassender Strukturbeweis erfolgt jedoch mit spektroskopischen Methoden:

### Spektroskopische Daten von **8**

Für das gelbe Reaktionsprodukt der Umsetzung von Phenylhydrazin **9** mit Phenacylhalogeniden **10** ( $X = \text{Cl}$  oder  $\text{Br}$ ) wurden im Zuge der früheren Untersuchungen anderer Autoren Strukturen der mit der Elementaranalyse vereinbaren Summenformeln C<sub>14</sub>H<sub>12</sub>N<sub>2</sub> (monomeres Produkt) und C<sub>28</sub>H<sub>24</sub>N<sub>4</sub> (dimer) erwogen. Die in der Literatur beschriebenen Versuche<sup>6, 9, 11</sup>, durch Molekulargewichtsbestimmungen eine Entscheidung herbeizuführen, sind nicht voll befriedigend: Die kryoskopischen Molekulargewichtsbestimmungen<sup>6, 9, 11</sup> erbrachten Werte, die zwischen den Molekulargewichtswerten der fraglichen Summenformeln liegen, wodurch allerdings die dimere Form an Wahrscheinlichkeit gewinnt. Eine Röntgenstrukturanalyse<sup>11</sup> zur Molekulargewichtsermittlung wurde an einer „zweiten Modifikation“ (rote Plättchen) durchgeführt und spricht für das Vorliegen einer dimeren Struktur; die Darstellung der für diese Bestimmung verwendeten Modifikation von **8** konnte in der vorliegenden Untersuchung nicht realisiert werden.

Das Massenspektrum von **8** zeigte ein Molekülion  $M^+$  ( $m/e$  416) sehr geringer Intensität ebenso wie das Massesignal des Dehydrierungsproduktes  $M^+ - 2$  ( $m/e$  414). [In Abhängigkeit von den Aufnahmebedingungen ist auch das Signal des Protonierungsproduktes,  $M^+ + 1$  ( $m/e$  417), zu beobachten]. Durch diese Massensignale wird die Dimerenformel C<sub>28</sub>H<sub>24</sub>N<sub>4</sub> bestätigt. — Die für gemischt aliph.-arom. Azoverbindungen wie **8** charakteristische Fragmentierung<sup>15</sup> unter Abspaltung von C<sub>6</sub>H<sub>5</sub>N<sub>2</sub> ( $m/e$  105) führt zum Basispeak  $M^+ - 105$  ( $m/e$  311). Dieses Bruchstück sowie die davon ausgehenden Fragmentierungen sind in guter Übereinstimmung mit der Struktur des 1,3,6-Triphenyl-6-phenylazo-1,4,5,6-tetrahydropyridazins (**8**). Ferner zeigt das Massenspektrum von **8** unterhalb  $m/e$  310 erwartungsgemäß eine weitgehende Parallelität der Massenfragmente und der relativen Intensitäten der jeweiligen Signale mit dem Massenspektrum von 1,3,6-Triphenyl-1,4-dihydropyridazin (**14**)<sup>11</sup>, dem Produkt der sauren, unter Abspaltung von C<sub>6</sub>H<sub>5</sub>N<sub>2</sub>H (in Form des „zwitterionischen“ Phenylidiazens<sup>16</sup>) erfolgenden Hydrolyse von **8** (vgl. Tab. 1).

Das  $^1\text{H-NMR}$ -Spektrum von **8** zeigt Signale aromatischer und aliphatischer Protonen im Verhältnis 5:1; vor allem die Lage des Multipletts der aliph. Protonen ( $\delta = 2,10\text{--}2,85$  ppm) ist in Über-



14

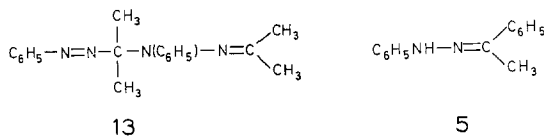
Tabelle 1. Massenfragmente von **8** und **14**

<i>m/e</i>	
<i>M</i> <sup>+</sup>	
<b>8</b>	416 414 311 309 233 219 206 180 130 115 103 77 51
<i>M</i> <sup>+</sup>	
<b>14</b>	310 233 206 180 130 115 103 77 51

Aufnahmebedingungen: Ionisierungsspannung 70 V, Temperatur der Ionenquelle 150 °C.

einstimmung mit Struktur **8**. [Die alternative Struktur für ein (4 + 2)-Cyclodimeres von **7** mit einer Verknüpfung der terminalen  $\text{CH}_2$ -Gruppe des Dienophils mit dem  $\text{C}_6\text{H}_5\text{-N}$ -Atom des Diens kommt daher nicht in Betracht.]

Das UV-Spektrum von **8** läßt eine Überlagerung der beiden chromophoren Systeme  $\text{C}_6\text{H}_5\text{-C}=\text{N}-\text{N}-\text{C}_6\text{H}_5$  (wie etwa in Acetophenonphenylhydrazon, **5**) und  $\text{C}_6\text{H}_5\text{-N}=\text{N}-\text{C}$  [wie in Aceton-*N*-phenyl-



13

5

Tabelle 2. UV-Daten von **8**, **13** und **5**

Lsgm.	$\lambda_{\text{max}}$ [nm]	(log $\epsilon$ )
<b>8</b>	Äthanol 242 (4,30)	290 (4,20)
	n-Hexan 239 (4,31)	{270} (4,13)
<b>13</b>	n-Hexan 234 (4,18)	263 (4,14)
	<b>5</b> n-Hexan 234 (4,18)	{305} (4,18)
		324 (4,32)

{ $\lambda_{\text{max}}$ } bedeutet Schulter.

N-(2-phenylazo-2-propyl)-hydrazon, 13] erkennen (Tab. 2), wie dies ähnlich von *Curtin* und *Tristram*<sup>11</sup> demonstriert worden ist.

In den Schwingungsspektren (IR und Raman) von **8** sind die trivialen Gruppenschwingungsabsorptionen zu erkennen; die Valenzschwingungsbande der mit dem Phenylring konjugierten N=N-Bindung bei 1527 cm<sup>-1</sup> kann auf Grund der höheren Intensität im Ramanspektrum gegenüber dem IR-Spektrum zugeordnet werden.

Zufolge der vorliegenden spektroskopischen Daten hat die (4 + 2)-Cyclodimerisierung des reaktiven Zwischenproduktes **7** unter Verknüpfung zweier terminaler CH<sub>2</sub>-Gruppen zu **8** stattgefunden. Diese regioselektive Orientierung von Heterodien und Dienophil **7** bei deren (4 + 2)-Cyclodimerisierung zu **8** bestätigt erneut das analoge Verhalten  $\alpha$ -monosubstituierter Phenylazo-alkene und  $\alpha$ ,  $\beta$ -ungesätt. Carbylverbindungen<sup>17</sup>.

Die Elementaranalysen wurden von Herrn Dr. *J. Zak* am Mikroanalyt. Laboratorium des Institutes für Physik. Chemie der Universität Wien durchgeführt. Herrn Dr. *W. Vetter* (Hoffmann-La Roche AG., Basel) danke ich für Aufnahme und Diskussion der Massenspektren. Alle übrigen spektroskopischen Daten wurden mit Geräten ermittelt, die vom Fonds zur Förderung der wissenschaftlichen Forschung in dankenswerter Weise zur Verfügung gestellt worden sind.

### Experimenteller Teil

Die Spektraldaten wurden an folgenden Geräten ermittelt: AEI MS 9 Massenspektrometer, JEOL C-60-HL (60 MHz), Perkin-Elmer 137 UV, Hilger and Watts H 900 Infrarot, Coderg Laser Raman PHO mit Krypton-Ion-Laser, Model 52 der Coherent Radiation Laboratories.

Die Schmelzpunkte wurden mit einem *Kofler*-Schmelzpunktmikroskop Thermopan-Reichert bestimmt und sind unkorrigiert.

#### *Versuch 1: 1-(2-Phenyl-2-phenylhydrazono-äthyl)-pyridiniumjodid (6)*

Zu einer Lösung von 5,08 g (20 mMol) J<sub>2</sub> in 30 ml absol. Pyridin wird (bei 25° unter N<sub>2</sub> und unter magnet. Rühren) eine Lösung von 4,20 g (20 mMol) Acetophenon-phenylhydrazon (**5**)<sup>18</sup> in 30 ml absol. Pyridin während 10–15 Min. zugetropft. Nach 3täg. Stehen wird die dunkelrote, klare Reaktionslösung am Rotationsverdampfer (40°) eingeeengt und der Ätherextrakt abdekantiert; dies wird zweimal wiederholt und der Rückstand schließlich im Vak. von Ätherresten befreit. Anschließend wird das Kristallgemisch mit 50 ml H<sub>2</sub>O versetzt, mehrere Std. bei 0° belassen und das so von Pyridin · HJ befreite, kristalline Rohprodukt abfiltriert, mit H<sub>2</sub>O gewaschen und über P<sub>4</sub>O<sub>10</sub> im Vakuumexsikkator getrocknet: 7,65 g (92%) 1-(2-Phenyl-2-phenylhydrazono-äthyl)-pyridiniumjodid (**6**). Aus Acetonitril Zersp. 140–142°.

C<sub>19</sub>H<sub>18</sub>JN<sub>3</sub>. Ber. C 54,96, H 4,37, J 30,56, N 10,12.  
Gef. C 53,93, H 4,38, J 31,49, N 10,08.

$^1\text{H-NMR}$ :  $(\text{CD}_3)_2\text{SO}/\text{CDCl}_3$  1 : 1 (*TMS*).

$\delta = 6,42$  ppm, s (2 H):  $\text{CH}_2$

$\delta = 6,75\text{--}9,10$  ppm, mehrere m (15 H): 2  $\text{C}_6\text{H}_5\text{--}$ ,  $\text{C}_5\text{H}_5\text{N}^+\text{--}$

$\delta = 10,29$  ppm, s (1 H): NH (gegen D austauschbar).

*Versuch 2: 1,3,6-Triphenyl-6-phenylazo-1,4,5,6-tetrahydropyridazin (8)*

a) Eine Lösung von 4,15 g (10 mMol) 1-(2-Phenyl-2-phenylhydrazono-äthyl)-pyridiniumjodid (**6**) in 30 ml *DMSO* wird mit 30 ml 0,5*n*-NaOH versetzt, wodurch sofort 1,3,6-Triphenyl-6-phenylazo-1,4,5,6-tetrahydropyridazin (**8**) gefällt wird. Die Fällung wird durch Zugabe von 60 ml  $\text{H}_2\text{O}$  vervollständigt; die gelben Kristalle werden mehrmals mit  $\text{H}_2\text{O}$  bis zur neutralen Reaktion des Waschwassers gewaschen. Nach Trocknen im Vakuumexsikkator über KOH 2,1 g (99%) **8**. Aus *PÄ* (50—70°) Schmp. 137—139°.

b) 0,5 g (1,2 mMol) 1,4-Diphenylbutan-1,4-dion-bisphenylhydrazon (**12**)<sup>11</sup> werden in 25 ml Aceton gelöst, mit feinverriebenem  $\text{KMnO}_4$  bis zur bleibenden Violettfärbung versetzt. Nach Abfiltrieren von  $\text{MnO}_2$  und nach Abdestillieren des Lösungsmittels wird der Rückstand mit etwa 3 ml Äther aufgenommen. Von Unlöslichem (auf Grund des IR-Spektrums 1,4-Diphenylbutan-1,4-dion) wird abfiltriert; das Filtrat wird durch Säulenchromatographie gereinigt (200 g  $\text{Al}_2\text{O}_3$  aktiv basisch, Säule  $\varnothing$  32 mm, H 340 mm; Eluens: *PÄ* (40—60°)/Äther 19 : 1). Das erste gelbe Eluat enthält 0,04 g (8%) 1,3,6-Triphenyl-6-phenylazo-1,4,5,6-tetrahydropyridazin (**8**).

Die nach den beiden vorstehenden Versuchen a) und b) gewonnenen Präparate **8** sind identisch (IR-Spektrum, *DC*, depressionsloser Mischschmp.) mit Proben von **8**, welche aus Phenacylchlorid **10** ( $X = \text{Cl}$ ) und Phenylhydrazin (**9**) nach literaturbeschriebenen Verfahren<sup>7, 11</sup> gewonnen werden.

IR (KBr) [ $\text{cm}^{-1}$ ]: 1572 (Schulter) ( $\nu \text{C}=\text{N}$ ), 1527 ( $\nu \text{N}=\text{N}$ ); Raman (0,5 *m* in Aceton) [ $\text{cm}^{-1}$ ]: 1571 ( $\nu \text{C}=\text{N}$ ), 1526 ( $\nu \text{N}=\text{N}$ ).

$^1\text{H-NMR}$ :  $\text{CDCl}_3$  (*TMS*)

$\delta = 2,05\text{--}2,85$  ppm, m (4 H):  $\text{CH}_2\text{--CH}_2$

$\delta = 6,45\text{--}7,90$  ppm, mehrere m (20 H): 4  $\text{C}_6\text{H}_5\text{--}$

*MS*: Tab. 1; UV: Tab. 2.

### Literatur

- <sup>1</sup> J. Schantl, Mh. Chem. **105**, 229 (1974).
- <sup>2</sup> J. Schantl, Tetrahedron Letters **1971**, 153.
- <sup>3</sup> J. Schantl, Mh. Chem. **103**, 1705 (1972).
- <sup>4</sup> J. Schantl, Mh. Chem. **105**, 220 (1974).
- <sup>5</sup> O. Hess, Ann. Chem. **232**, 234 (1886).
- <sup>6</sup> J. Culman, Ann. Chem. **258**, 235 (1890).
- <sup>7</sup> A. P. J. Hoogveen, Rec. Trav. Chim. Pays-Bas **50**, 669 (1931).
- <sup>8</sup> S. Bodfors, Ber. dtsh. chem. Ges. **52**, 1762 (1919).
- <sup>9</sup> S. Bodfors, Ber. dtsh. chem. Ges. **72**, 468 (1939).
- <sup>10</sup> J. van Alphen, Rec. Trav. Chim. Pays-Bas **65**, 112 (1946).
- <sup>11</sup> D. Y. Curtin und E. W. Tristram, J. Amer. Chem. Soc. **72**, 5238 (1950).
- <sup>12</sup> A. Dornow und W. Bartsch, Ann. Chem. **602**, 23 (1957).
- <sup>13</sup> J. Schantl, Mh. Chem. **105**, 322 (1974).

- <sup>14</sup> *W. Theilacker* und *H. J. Tomouschat*, *Chem. Ber.* **88**, 1086 (1955).  
<sup>15</sup> *J. Buckingham*, *G. J. F. Chittenden* und *R. D. Guthrie*, *J. Chem. Soc. C* **1967**, 1703.  
<sup>16</sup> *J. Schantl*, Unveröffentlichte Untersuchung, vgl.<sup>1</sup>.  
<sup>17</sup> *O. Eisenstein*, *J.-M. Lefour* und *N. T. Anh*, *Chem. Comm.* **1971**, 969.  
<sup>18</sup> *G. Hilgetag* und *A. Martin*, *Organisch-Chemische Experimentierkunst*, S. 576. Leipzig: Barth. 1964.

*Dr. J. Schantl*  
*Institut für Organische*  
*und Pharmazeutische Chemie*  
*Universität Innsbruck*  
*Innrain 52a*  
*A-6020 Innsbruck*  
*Österreich*